

Seismische Registrierungen der Erdbebenwarte in Eger

vom 1. Januar 1913 bis 30. April 1914.

Von Georg Irgang.

Die Kosten der Einrichtung und des Betriebes der Station werden von der Stadtgemeinde Eger und der kaiserlichen Akademie der Wissenschaften in Wien getragen.

Lage der Station: Seehöhe 430 m,
 $\varphi = 50^{\circ} 4' 46''$, $\lambda = 22^{\circ} 22' 34''$ E. Gr.
120

Die im folgenden in Verwendung genommenen Zeichen sind nach der Göttinger Anordnung und Bezeichnungsweise gewählt:

1. Phasen eines Erdbebens:

- P = erster Vorläufer,
- S = zweiter Vorläufer,
- L = lange Wellen (Hauptphase),
- M = größte Bewegung der Hauptphase,
- C = Nachläufer,
- F = Erlöschen der Bewegung.

2. Art der Bewegung:

- i = Einsatz,
- e = Auftauchen,
- N = Komponente Nord-Süd,
- E = Komponente Ost-West.

Die Amplitude der Bewegung bedeutet die Entfernung eines Umkehrpunktes vom nächsten gemessen in $\mu = 0'001$ mm. Die Periode bedeutet die Dauer eines Hin- und Herganges, gemessen in Sekunden. Die Zeiten sind in mittlerer Greenwicher Zeit, gezählt von Mitternacht bis Mitternacht, angegeben.

Sämtliche Angaben beziehen sich, wenn in der Anmerkungs-
rubrik darüber nichts gesagt ist, auf die Aufzeichnungen der beiden
Horizontalkomponenten eines mit photographischer Registrierung ver-
sehenen Horizontalpendelpaars. Die Eigenperiode der beiden Pendel
beträgt 20 Sekunden. Die Dämpfung der Nord-Südkomponente be-
trägt 7 und die Ost-Westkomponente ist aperiodisch gedämpft. Die
Vergrößerung ist 110fach. Die Genauigkeit der Zeitangaben ist mit
 ± 2 Sekunden anzunehmen.

Außer den in einem früheren Berichte*) angeführten Instrumenten
steht seit Mitte Feber 1914 auch ein bifilares Kegelpendel nach Dr.
C. Mainka von der Firma J. & A. Bosch in Straßburg i. E. mit einer
Masse von 456 kg als Nordsüdkomponente in Verwendung. Die hiezu
erforderlichen Mittel wurden von der kaiserlichen Akademie der Wissen-
schaften in Wien gewährt, wofür an dieser Stelle der geziemende Dank
ausgesprochen sei. Ferner hat die Stadtgemeinde Eger bereitwilligst
die zur Aufstellung des neuen Instrumentes notwendigen Fundierungs-
und Adaptierungsarbeiten in dankenswerter Weise durchgeführt. Das
Fundament für das bifilare Kegelpendel ist ein in den Boden einge-
lassener isolierter Eisenbetonwürfel mit 1 m 50 cm Seitenlänge.

Das bifilare Kegelpendel hat sich als besonders geeignet erwiesen
für die Registrierung von schwächeren lokalen Erschütterungen und
von Nahbeben. Die beigelegte Tafel gibt zwei Beispiele von Dia-
grammen dieses Instrumentes und eines Diagrammes der Nord-Süd-
komponente der photographisch registrierenden Horizontaldpendel wieder.

Erklärungen zur Tafel.

Fig. 1: Fernbeben am 30. März 1914. Diagramm der N—S Komponente des
Horizontalpendels mit photographischer Registrierung. Periode 20", Dämpfung 1 : 7,
Vergrößerung 110fach. 1.75fache Verkleinerung des Originals. Zeitkorrektur: —
11 Sekunden.

Fig 2: Erdbeben in den kleinen Karpathen am 18. April 1914. Diagramm des
Mainka-Pendels. Komponente N—S. Konstanten siehe Registrierungen. 2.17fache
Vergrößerung des Originals. Zeitkorrektur: + 7 Sekunden.

Fig. 3: Erdstoß am 21. April 1914. Gespürt in Asch und Umgebung. Diagramm
des Mainka-Pendels. Komponente N—S. Konstanten siehe bei den Registrierungen.
4fache Vergrößerung des Originals. Zeitkorrektur: + 7 Sekunden.

*) Jahresbericht der k. k. Staats-Oberrealschule in Eger 1911/12.

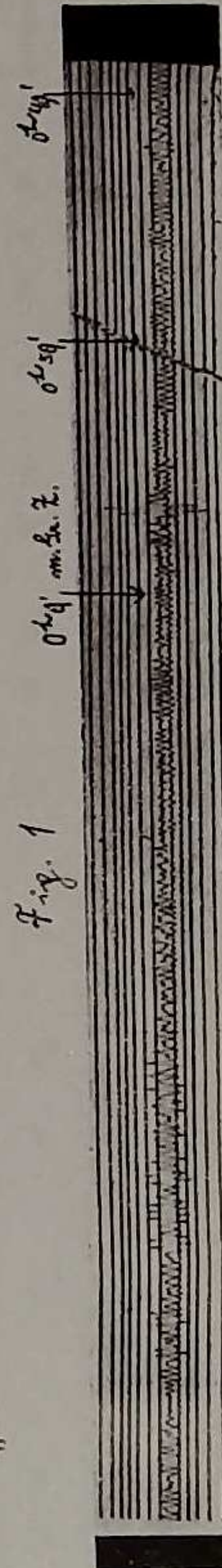


Fig. 1



Fig. 2

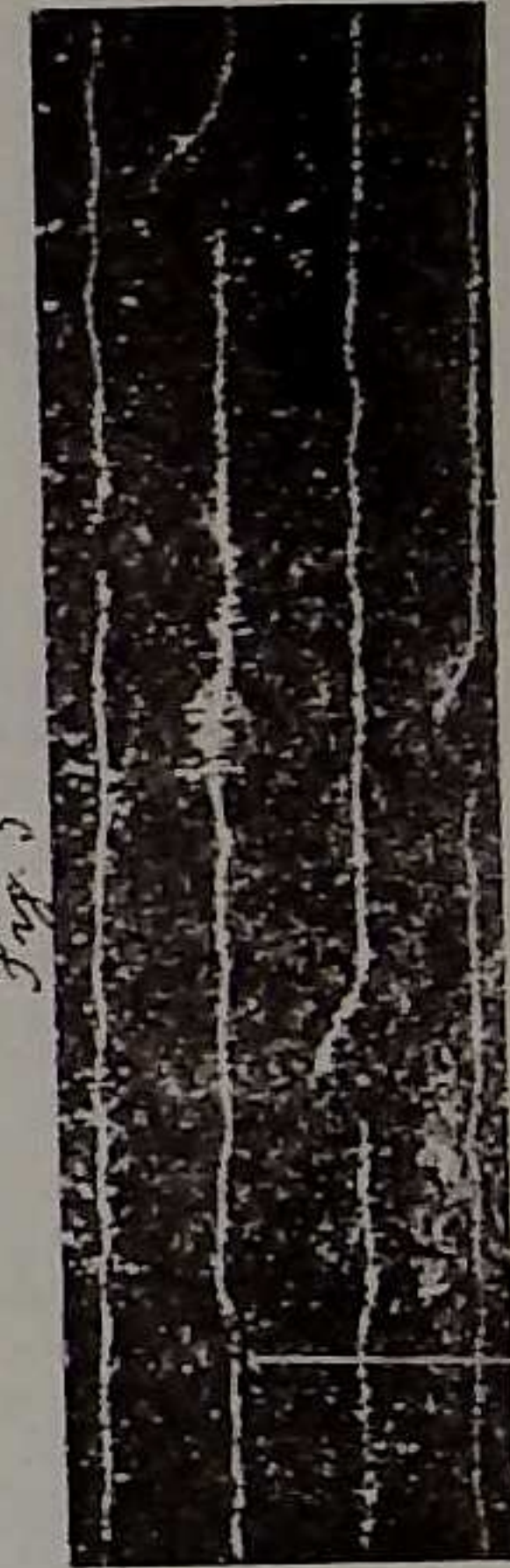


Fig. 3

5 + 16'

20 + 16'

ERDBEBENWARTE EGER.

Jahr 1913

Datum	Komponente	Phase	Mittl. Greenw. Zeit			Periode s	Amplitude μ	Bemerkungen
			h	m	s			
Januar								
2.	N	e	0	59				
		F	1	8				
3.	N	e	1	6				
		F	1	14				
5.	N	e	4	40				
		M	4	44		8	10	
		F	5					
5.	N	e	17	44				
		eL	18	6				
		M	18	8		15	60	
		F	19	10				
7.	N	e	23	9				
		F	23	22				
7./8.	N	e	23	35				Fällt in das vorausgehende Diagramm.
		eL	23	40		15	20	
		M	23	40				
		F	0	40				
8.	N	e	20					
		F	20	35				
9.	N	e	3	18				
		eL	3	37				
		M	3	45		15	23	Fällt in das nächste Diagramm.
9.	N	e	4	50				
		M	4	55		15	10	
		F	5	20				
9.	N	e	11	55				9., 10., 11. und 12. Januar starke Bodenunruhe.
		F	12	11				Infolge starker Bodenunruhe nicht zu erkennen.
11.	N	e	13	41	29			
		eS	14	7				
		eL	14	23		16	50	
		M	16	10				
		F	16	10				
15.	N	e	19	14				Vom 15. bis 18. Januar stärkere Bodenunruhe.
		eL	19	30				
		F	20	20				
19.	N	e	17	17	18			Epizentraldistanz 9000 km.
		iS	17	27	31	—	23	
		eL	17	38				
		M ₁	17	40			30	
		M ₂	17	57		19	30	
		F	20	20				
19./20.	N	e	23	59	39			Epizentraldistanz 9000 km.
		eS	0	9	23			
		eL	0	25				
		M	0	33		18	25	
		F	1	45				
20.	N	e	16	10				
		F	17					
20./21.	N	e	22	15				Mehrere ineinander übergehende Diagramme.
		F	0	20				
23.	N	e	8	39				
		F	8	55				

Jahr 1913

Datum	Komponente	Phase	Mittl. Greenw. Zeit			Periode s	Amplitude μ	Bemerkungen
			h	m	s			
Januar 23.	N	eL	15	5				
23.	N	F	15	50				
23.	N	F	21	36				
24.	N	F	21	40				
24.	N	F	2	35				
24.	N	F	2	42				
24.	N	F	2	45				
27.	N	eP	2	50				
		eS	19	43	58			Epizentraldistanz 2800 km.
		eL	19	48	25			
		M	19	53			15	
		F	19	54				
31.		N	20	30				
31.J.1.F.	N	F	19	14				
		F	19	30				
Feber 7.	N	F	23	20				
		eL	0	10				
		eL	3	30				1.—6. Feber starke Bodenunruhe.
		M	3	49			34	
		F	3	55				
12.	N	F	4	45				
		F	0	9				
14.	N	F	1	10				
		F	19	50				
15.	N	F	20	30				
		F	19	25				
15.	N	F	20	40				
		F	21	40				
18.	N	F	22	30				
20.	N	eP	1	50				
		eS	9	11	2			Epizentraldistanz 8900 km.
		eL	9	20	54			
		M	9	37			20	55
		F	9	48				
23.	N	eL	11	10				
		M	3	19				
		F	3	35			18	4
24.	N	F	3	46				
		F	4	35				
24.	N	F	11	58				
		F	12	5				
25.	N	F	18	52				
		F	19	6				
27.	N	F	16	36				
		F	17	40				
März 1.	N	M	15	5			20	6
		F	15	18				
3.	N	F	15	50				
		F	0	10				
		F	1					

Jahr 1913

Datum	Komponente	Phase	Mittl. Greenw. Zeit			Periode s	Amplitude μ	Bemerkungen
			h	m	s			
März 3.	N	e	3	27				
		M	3	53		20	10	
		F	4	30				
3.	N	F	20	25				
		F	21	30				
4.	N	F	12	7				4. und 5. März starke Bodenunruhe.
		F	12	20				
6.	N	e	2	29				
		M	2	41	16		45	
		F	3	10				
6.	N	eL	11	25	8			
		M	11	32			16	76
		F	11	36				
8.	N	F	12	45				
		F	16	17				
		eL	16	30				
		M	16	29	20		8	
		F	17	40				
10.	N	e	15	10				
		M	15	16	18		3	
		F	15	24				
10.	N	eL	19	39				
		M	19	41	14		8	
		F	19	43				
12.	N	eL	22	31				
		M	22	43	21		3	
		F	23					
14.	N	eP	8	58				Epizentraldistanz 11200 km
		eS	9	9	50		50	
		i	9	18	40		120	
		eL	9	22				
		M	9	42	18		250	
		F	13					
15.	N	e	2	20				15., 16., 17. stärkere Bodenunruhe.
		F	2	40				
18.	N	e	1	22				
		(L)	1	45				
		M	2	3	12		20	
		F	3					
18.	N	F	3	10				19.—21. März sehr st. Bodenunruhe
		F	4					Epizentraldistanz 9900 km
23.	N	eP	21	0	30			
		i	21	4	22			
		eS	21	11	23			
		i	21	18	8			
		eL	21	30				
		M	21	40	18		12	
		F	21					
24.	N	M	23					
		F	10	45				
		M	10	58	20		8	
		F	11	30				

Jahr 1913

Datum	Komponente	Phase	Mittl. Greenw. Zeit			Periode s	Amplitude μ	Bemerkungen
			h	m	s			
März 24.	N	e	20	25				
		F	20	40				
25.	N	e	2	13				
		F	2	30				
26.	N	e(P)	22	1	35		Epizentraldistanz 5800 km	
		eS	22	9				
		eL	22	29		20	4	
		M	22	40				
		F	23	10				
27.	N	e	3	19			Am 29 März erscheinen lange Wellen mit 60"-90" Periode und 1-3 μ Amplitude	
		M	3	41	18		2	
		F	4	30				
31.	N	iP	3	53	16		Epizentraldistanz 8820 km	
		eS	4	3	17			
		eL	4	18		16-18	33	
		M	4	32				
		F	8					
31.	N	e	18	10				
		F	19	10				
April 1.	N	e	0	15	26			
		eL	0	35				
		M	0	46	18		14	
		F	1	20				
3.	N	e	11	20				
		F	11	30				
4.	N	e	14	20	17		3	
		F	14	40				
7.	N	e	14	10	48			
		eL	14	34				
		M	14	39	15		20	
		F	16					
7.	N	e	17	30				
		F	18	10				
8.	N	e	2	44	8			
		eL	3	7				
		M	3	12	14		4	
		F	4					
9.	N	e	5	49	5-8		2	
		F	5	56				
9.	N	e	17	28	16-17		2	
		F	17	50				
9.	N	iP	18	11	41		Epizentraldistanz 7980 km	
		eS	18	21	0			
		eL	18	40				
		M	18	55	18		4	
		F	20					
10./11.	N	e	23	57				
		F	0	45				
11.	N	e	10	13				
		M	10	18	15		3	
		F	10	40				

Jahr 1913

Datum	Komponente	Phase	Mittl. Greenw. Zeit			Periode s	Amplitude μ	Bemerkungen
			h	m	s			
April 13.	N	e	7	3	29			
		eL	7	21				
		M	7	34	15		170	
		F	9					
14.	N	e	8	11				
		M	8	36	17		5	
		F	9	30				
16./17.	E	e	23	53				
		M	0	0	20		1	
		F	0	10				
17.	N	e	13	17				
		M	13	6	20		3	
		F	13	55				
18.	N	e	13	38				
		eL	14	4				
		M	14	6	24		3	
		F	14	55				
18.	N	e	19	23				
		eL	19	53				
		M	19	56	24		10	
		F	22					
20.	E	e	3	19				
		i	3	23	14			
		eL	3	27				
		M	3	30	15			
		F	4					
20.	N	e	10	56	17			
		F	11	15				
20.	N	e	15	35	16			
		F	15	47				
22.	N	e	14	4				
		F	14	30				
24.	N	e	1	12				
		F	2	10				
24.	N	e	10	41				
		eL	11	5				
		M	11	8	24		20	
		F	12	40				
24.	N	i	12	40	22			
		eL	13	8				
		M	13	15	15-20		10	
		F	14	30				
24.	N	e	22	30	18		1	
		F	22	40				
24.	N	e	23	20				
		F	23	40				
25.	N	e	0	2				
		eL	0	30				
		M	0	40	15-20		3	
		F						
25.	N	e	1	42				
		eL	1	46	20		2	
		M	2	20				
		F						

Russisch-Armenien.

fällt in das nächste Diagramm.

) gehen ineinander über.

Jahr 1913									
Datum	Komponente	Phase	Mittl. Greenw. Zeit			Periode s	Amplitude μ	Bemerkungen	
			h	m	s				
April 25.	N	e	4	26	44	18	2	Epizentraldistanz 9560 km.	
		M	4	35					
25.	N	F	5	10		12	3		
		eL	5	30					
25.	N	M	5	35		22	70		
		F	6						
		eP	18	10	16				
		iS	18	20	54				
		eL	18	42					
		M ₁	18	51					
		M ₂	18	54					
		M ₃	19	2					
M ₄	19	13							
25./26.	N	C	22	40		18-20			
		F	23	40					
26.	N	e	0	6		20	6	fällt in die Unterbrechung.	
		F	1	10					
26.	N	e	12	15		20	6		
		eL	13	20					
26.	N	M	13	25		20	3		
		F	14	10					
26.	N	eL	19	44		20	3		
		M	19	46					
27.	N	F	20	30		24	6		
		eL	14	6					
28.	E	F	14	40		15	2		
		e	4	6					
28.	N	eL	4	20		15	2		
		M	4	35					
28.	N	F	5	10		20	6		
		i	19	3	30				
29.	N	eL	19	32		24	6		
		M	19	34					
29.	N	F	20	50		24	6		
		i	3	33	23				
29.	N	eL	3	58		15	2		
		M	4	2					
29.	N	F	5	10		15	2		
		e	21	43					
29./30.	N	eL	22	3		24	6	Epizentraldistanz 9510 km.	
		M	22	13					
30.	N	F	22	40		17	20		
		iP	23	41	8				
30.	N	eS	23	51	44	17	20		Epizentraldistanz 11000 km.
		eL	0	8					
30.	N	M	0	15		17	20		
		F	0	30					
30.	N	eP	11	45	38	17	20		
		eS	11	57	20				
30.	N	eL	12	14		17	20		
		M	12	28					
30.	N	F	14			17	20		
		F	14						

Jahr 1913								
Datum	Komponente	Phase	Mittl. Greenw. Zeit			Periode s	Amplitude μ	Bemerkungen
			h	m	s			
April 30.	N	e	21	40		18		
		F	22	15				
Mai 1.	N	e	7	27		14	3	
		F	8	30				
1.	N	e	14	6		24	1	
		F	14	45				
1.	N	e	22	15		12	2	
		F	22	34				
1.	N	eL	22	30		12	1	
		F	23	30				
4.	N	F	23	23		12	1	
		e	0	20				
4.	N	eL	10	1	36	14	3	
		M	10	3	40			
4.	N	F	10	5		24	1	
		e	10	20				
4.	N	F	13	15		12	2	
		e	13	30				
4.	N	F	21	55		12	1	
		e	0	30				
5.	N	F	2	5		12-15	1	
		e	4					
5.	N	F	7	54		12	2	
		e	9	52				
5.	N	F	10	15		12	1	
		e	21	7				
5.	N	F	21	30		12-15	1	
		e	23	52				
5.	N	F	0	14		12-15	1	
		e	0	41				
6.	N	F	1	10		27	10	
		e	1	42				
6.	N	eL	1	49		15	10	
		M	2	14				
6.	N	F	2	26		15	10	
		e	3	40				
6.	N	F	6	58		14	3	
		e	7	58				
6.	N	F	12	5		14	3	
		e	12	35				
6.	N	F	15	49		16	4	
		e	15	52				
6.	N	M	15	52		16	4	
		F	16	50				
6.	N	F	21	32		16	1	
		e	21	45				
7.	N	F	0	5	39	22	6	
		eL	0	43				
7.	N	F	1	50		16	2	
		e	4	48				
7.	N	F	5	20		13	3	
		e	13	25				
7.	N	M	13	55		12	3	
		F	14	5				

Jahr 1913

Datum	Komponente	Phase	Mittl. Greenw. Zeit			Periode s	Amplitude μ	Bemerkungen
			h	m	s			
Mai 7.	N	eL	21	40		13	2	
		F	22	20				
7.	N	F	23	33		15	1	
		F	24					
8.	N	F	4	10		5	2	
		F	4	35				
8.	N	F	11	20		16	1	
		F	11	40				
8.	N	F	13	10		12	1	
		F	13	20				
8.	N	F	17	22		18	2	
		F	17	32				
8.	N	F	18	25		20	1	
		F	18	40				
8.	N	iP	18	54	45		35	Epizentraldistanz 13500 km.
	E	iP	18	54	50			
	N	eS	19	8	10		12	
	N	eL	19	23				
	N	L				20	15	Kein ausgesprochenes Maximum.
	N	C	21	45				
9.	N	F	0	28		15	2	
		F	1					
9.	N	F	17	10		16	4	
		M	17	15				
		F	17	45				
9.	N	F	19	10		15	1	
		F	19	22				
9.	N	F	22	12		17	4	
		F	22	45				
10.	N	F	13	48		9	2	
		F	13	55				
11.	N	F	10	20		12	1	
		F	10	25				
16.	N	F	12	10				
		M	12	37		15	3	
		F	13	30				
17.	N	F	8	35		12	2	
		F	9	30				
18.	N	eP	2	23	6			Epizentraldistanz 9470 km.
		i	2	27	22			
		eS	2	33	40			
		eL	2	52				
		M ₁	3	6		30	30	
		M ₂	3	11		21	50	
		C				18		
		F	5					
19.	N	iP	15	50	17			Epizentraldistanz 2460 km.
		eS	15	54	19			
		eL	15	56	40			
		M	16			17	10	
		F	16	35				

Jahr 1913

Datum	Komponente	Phase	Mittl. Greenw. Zeit			Periode s	Amplitude μ	Bemerkungen
			h	m	s			
Mai 20.	N	e	4	36				
		M	4	42		18	4	
		F	5	10				
20.	N	F	11	10		20	2	
		F	11	30				
21.	N	eL	14	20				
		eL	14	44				
		M	14	59		22	3	
		F	15	25				
21.	N	F	21	20				
		M	21	28		15	2	
		F	21	40				
24./25.	E	eP	23	43	23			
		e	23	49	50			
		e	23	58	25			
		eL	0	15				
		M	0	22		24	8	
		F	2	10				
25.	N	F	11	20		18	2	
		F	11	45				
27.	N	F	14	50				
		M	15	9		14	4	
		F	15	30				
28.	N	F	3	24		16	2	
		M	3	27				
		F	3	35				
29.	N	eL	10	33	50			
		eL	10	50				
		M	11	6		14	12	
		F	12					
29.	N	e	13	44				
		i	13	50	23			
		eL	14	15				
		M	14	22		14	20	
		F	15	20				
30.	N	eP	12	7	32		12	Epizentraldistanz 9150 km. ?
		eP	12	8			2	
		iS	12	17	56	16	34	
		eS	12	17	56			
		i	12	25	2	16	37	
		eL	12	44				
		eL	12	40				
		M ₁	12	48		30	62	
		M ₁	12	48		30	25	
		M ₂	12	53		18	100	
		M ₃	13	7		16	85	
		C				15		
		F	16					
31.	N	F	21	30	35			
		F	22	10				
Juni 1.	N	e	0	15				
		F	0	50				

Jahr 1913

Datum	Komponente	Phase	Mittl. Greenw. Zeit			Periode s	Amplitude μ	Bemerkungen
			h	m	s			
Juni 2.	N	e	18	23			10	Starke unregelmäßige Störungen.
		F	21					
4.	E	e	1	30		20	1	
4.	N	e	10	17	28			
		eL	10	53				
		M	10	59		22	10	
		F	12	40				
8.	E	e	2	9		12		
		F	2	20				
11.	N	e	6	45		12		10. und 11. starke unregelmäßige Störungen (10 μ).
		F	7	20				
13.	N	eP	3	10	30			
		eS	3	20	10			
		eL	3	42				
		M	3	51		20	6	
		F	4	50				
13.	N	eL	4	57		20		
		F	5	30				
14.	N	eP	8	51	0			Epizentraldistanz 9440 km.
		eS	9	1	32			
		eL	9	24				
		M	9	28		22	8	
		F						fällt in das nächste Diagramm.
14.	N	iP	9	37	6		16	Epizentraldistanz 1360 km.
		eS	9	39	30			
		M	9	42	30	12	900	Orcowitza (Bulgarien).
	E	M	9	43		10	450	
		C				10		fällt in das nächste Diagramm.
14.	N	eL	11	45				
		M	11	51		16	10	
		F	12	18				
14.	N	e	12	20		12	4	
		M	12	22				
		F	12	24				
15.	N	e	19	23		10	1	
		F	19	28				
18.	N	e	17	29		12	3	
		M	17	30				
		F	17	32				
19.	N	e	0	20		6-10	1	
		M	0	26				
		F	0	35				
19.	N	e	17	25		8	2	
		M	17	29				
		F	17	35				
20.	N	e	20	6		10	2	
		M	20	8				
		F	20	12				

Jahr 1913

Datum	Komponente	Phase	Mittl. Greenw. Zeit			Periode s	Amplitude μ	Bemerkungen
			h	m	s			
✓ Juni 22.	N	eP	14	2	14			Epizentraldistanz 8800 km.
		eS	14	12	15			
		e	14	17		30	20	Große lange Wellen.
		eL	14	24				
		M ₁	14	33		26	15	
		M ₂	14	40	30	17	22	
		M ₃	14	45	30	17	22	
		C				20		
26.	E	eP	17	30				Die folgenden Phasen sind infolge undeutlicher Registrierung nicht zu erkennen
		F	5	17	30			
	E	eP	5	17	10			(Reg. d. Conradpendels (Periode: 3·3, Dämpfung 3·5, Vergrößerung 50fach).
		e	5	30				
26.	N	e	22	25		8	3	
		F	22	36				
27.	N	e	2	27				
		eL	2	35		16	2	
		F	3	5				
28.	N	e	8	57	43			Roggiano (Unter-Italien).
		eS	8	59	6			
		M	9	1		12	20	
		F	9	30				
30.	E	e	11	14				
		F	11	20				
Juli 1.	E	eL	4	50		20	2	
		F	5	30				
5.	N	e	22	14		12	2	
		M	22	16				
		F	22	28				
6.	N	iP	7	9	37			Epizentraldistanz 2070 km.
		iS	7	13	6			
		eL	7	15		14	13	
		M	7	16				
		F	7	55				
6.	N	eP	16	36	42			
		eL	17	7		17	3	
		F	18	40				
7.	N	eP	17	56	50			
	E	eP	17	57	0			
	N	e(S)	18	7	28			
		eL	18	33				
		M ₁	18	41		22	5	
		M ₂	18	53		21	6	
		C				20		
		F	19	30				
8.	N	e	14	20		14	1	
		F	14	27				
8./9.	N	eP	22	28	46			
		e	22	45	40			
		eL	23	5				
		M	23	13		16	3	
		F	0	20				

Jahr 1913

Datum	Komponente	Phase	Mittl. Greenw. Zeit			Periode s	Amplitude μ	Bemerkungen
			h	m	s			
Juli 9.	N	eL	0	44		20	2	
		M	0	48				
12.	N	F	1	20	31	15	8	
		eL	11	10				
15.	N	M	11	17		1	1	
		F	12	40				
20.	N	F	20	30		30	30	Epizentraldistanz 320 km (Süddeutschland).
		eL	20	57				
20.	N	iP	12	7	16	5	100?	
		iS	12	7	55			
20.	N	iS	12	7	52	0.5	80	Diagramm d. Conradpendels (Per. 3'3'', Dämpf. 3.5, Vergrößerung 50fach).
		M	12	8				
20.	N	C	12	10	30	0.3?	100	
		F	12	15				
20.	N	iP	12	7	15	1.6	80	
		iS	12	7	55			
21.	N	L	12	8	7	2		
		C	12	10	15			
21.	N	F	12	13		10	2	
		eL	22	38				
21.	N	F	22	44		22	3	
		eL	6	56				
23.	N	M	7	30		22	3	
		F	7	45				
23.	N	eP	9	52	26	20	2	
		eL	18	52				
24.	N	M	19	34		9	2	
		F	19	48				
24.	N	F	20	20		19	2	
		eL	9	30				
25.	N	F	9	50		19	2	
		eL	12	53				
26.	N	M	13	14		16	4	
		F	13	23				
26.	N	F	14	10		16	4	
		eL	20	56	20			
26.	N	eL	20	56	20	16	4	
		M	21	3				
28.	N	F	21	5	30	20	3	Epizentraldistanz 6540 km.
		eL	22	5				
28.	N	eP	5	55	50	16	3	
		iS	6	3	55			
28.	N	eL	6	21		16	3	
		M ₁	6	29				
28.	N	M ₂	6	34		6	2	
		F	8	30				
31.	N	eL	12	30		6	2	
		F	12	50				
Aug. 1.	N	F	20	4		18	2	
		eL	20	5				
Aug. 1.	N	eL	9	20		18	2	
		M	9	36				
Aug. 1.	N	F	10	36		18	2	
		eL	9	20				

Jahr 1913

Datum	Komponente	Phase	Mittl. Greenw. Zeit			Periode s	Amplitude μ	Bemerkungen
			h	m	s			
Aug. 1.	N	iP	17	22	58	20	22	Epizentraldistanz 8640 km.
		iS	17	32	50			
6.	N	eL	17	46		30-60	20	
		M	18	0				
6.	N	M ₁	17	52		12	2	
		C	20					
6./7.	N	F	7	10		24?	20	Epizentraldistanz 9680 km. Caravelli (Peru).
		eP	7	40				
6./7.	N	iP	22	28	20	21	30	
		iS	22	28	20			
6./7.	N	eL	22	39	4	28	40	
		M ₁	22	41				
6./7.	N	M ₂	22	56		18	45	
		M ₃	23	5				
6./7.	N	M ₄	23	12		18	40	
		C	23	21				
6./7.	N	F	23	25		36	40	
		eL	23	25				
6./7.	N	eL	23	7		20		fällt in das folgende Diagramm.
		M ₁	23	7				
6./7.	N	M ₂	23	9		24	40	
		M ₃	23	11				
6./7.	N	F	23	13		21	45	
		eL	23	13				
6./7.	N	eL	2	10		20	36	
		M	2	10				
6./7.	N	F	2	35		17	3	
		eL	2	35				
6./7.	N	M	3	3		45		
		F	3	3				
6./7.	N	eL	3	10		20	2	
		M	3	10				
6./7.	N	F	3	40		15	2	
		eL	4	40				
6./7.	N	eL	5	17		20	2	
		M	5	17				
6./7.	N	F	5	33		19	20	
		eL	6	33				
6./7.	N	eL	19	20		19	28	
		eS	19	20				
6./7.	N	eL	19	28		15	2	
		M	19	28				
6./7.	N	F	20	1		7	4	
		eL	20	1				
6./7.	N	F	20	50		7	30	
		eL	20	50				
6./7.	N	F	7	4		5	40	1
		eL	7	4				
6./7.	N	F	7	30		5	45	
		eL	5	30				
6./7.	N	F	5	40		23	55	
		eL	5	40				
6./7.	N	F	5	45		0	2	
		eL	23	45				
6./7.	N	M	0	2		18	3	
		F	0	2				
6./7.	N	eL	0	12		6	25	
		M	0	12				
6./7.	N	F	1	1		7	15	
		eL	1	1				
6./7.	N	M	6	25		7	30	
		F	6	25				
6./7.	N	eL	7	15		17	32	
		M	7	15				
6./7.	N	F	7	30		18	10	
		eL	7	30				
6./7.	N	F	8	8		18	26	
		eL	8	8				
6./7.	N	M	17	32		18	40	
		F	17	32				
6./7.	N	eL	18	10		18	2	
		M	18	10				
6./7.	N	F	18	26		18	2	
		eL	18	26				
6./7.	N	F	19	40		18	2	
		eL	19	40				



Jahr 1913

Datum	Komponente	Phase	Mittl. Greenw. Zeit			Periode s	Amplitude μ	Bemerkungen
			h	m	s			
Sept. 1.	E	eL	22	15				
		eF	22	20				
2.	E	eF	20				1	
		eF	21					
3.	E	eF	21	12				
		eF	21	22				
		eL	21	46				
		M ₁	21	56	25	3		
		M ₂	22	7	22	3		
		F	24					
4.	N	eF	12	30	15	2		
		eF	12	50				
10.	N	eF	18	37	15	3		
		eF	19	10				
11.	N	eF	2	44	9	3		
		eF	2	51				
13.	N	eF	22	28				
		eL	22	54				
		M	23	11	20	2		
		F	23	40				
14.	N	eF	2	3				
		eF	2	10				
15.	N	eF	6	10				
		eL	6	22	20			
		F	7					
16.	N	iP	12	4	59			Epizentraldistanz 10400 km.
		iS?	12	16	17			
		eL	12	27				
		M	12	29	12	2		
		F	13	20				
26.	N	eL	22	58	18	2		
		F	23					
30.	E	eF	4	49				
		M	4	56	19	4		
		F	5	30				
30.	N	eP	7	40				
		eS	7	43	44	18		
		F	8	20				
Okt. 2.	N	iP	4	36	14			Epizentraldistanz 9230 km.
	N	iS	4	46	36			
	N	S				10		
	N	eL	4	59		27		
	N	M ₁	5	3	25	4		
	N	M ₁	5	8	23	30		
	N	M ₂	5	17	18	16		
	N	M ₃	5	31	16	13		
	N	F	6	40				
	N	F	8					
2.	E	eF	18	8	15	2		
		F	18	20				

Jahr 1913

Datum	Komponente	Phase	Mittl. Greenw. Zeit			Periode s	Amplitude μ	Bemerkungen
			h	m	s			
Okt. 3.	E	eL	0	37				
		eL	0	59				
		M	1	2			19	3
		F	1	40				
4.	N	eF	18	28	7			
		iF	18	30	56			7
		M	18	31	58	12		10
		F	19					
4.	N	eL	22	28				
		M	22	40			24	2
		F	22	45				
		F	23	30				
9.	N	eF	19					
		eL	19	15				
		M	19	22	24	2		
		F	19	50				
9.	E	eL	22	28				
		M	22	41	18	2		
		F	23					
9./10.	E	eL	20	40			15	2
		M	0	1				
		F	0	30				
11.	N	eP	1	54	59			Epizentraldistanz 8570 km.
		eS	2	4	48			
		eL	2	30				
		M ₁	2	37	30	8		
		M ₂	2	50	18	12		
		F	4	20				
11.	N	eP	4	26	46			Epizentraldistanz 8710 km.
		eS	4	36	42			
		eL	5					
		M ₁	5	8	30	10		
		M ₂	5	22	20	25		
		C			18			
		F	7	10				
11.	N	iP	9	22	12			Epizentraldistanz 8940 km.
		iS	9	32	19			
		eL	9	52				
		M ₁	9	56	16	25		
		M ₂	10	1	14	50		
		M ₃	10	6	13	55		
		F	12	30				
12.	N	eL	0	14	15	1		
		F	0	30				
12.	N	eL	2	20	12	1		
		F	2	30				
12.	N	eL	13	7			15	2
		M	13	15				
		F	13	25				
12.	N	eP	17	16	27			Epizentraldistanz 8540 km.
		eS	17	26	14			
		eL	17	47				
		M	17	56			14	15
		F	19	20				

Jahr 1913

Datum	Komponente	Phase	Mittl. Greenw. Zeit			Periode _s	Amplitude _μ	Bemerkungen
			h	m	s			
Okt. 14.	E	e	7	20			Die übrigen Phasen fallen in die Unterbrechung.	
		F	11					
14.	E	eL	15	7	12	1		
		F	15	20				
14.	E	eL	16	50	15	2		
		F	17	15				
14.	E	eL	22	30	19	1		
		F	23					
23.	N	e	12	27				
		M	12	34		3		
		F	12	40				
23.	N	e	15	23	54			
		eL	15	38	22	2		
		F	16	10				
25.	N	e	15	29				
		eL	15	40				
		M	16	5	19	4		
		F	17					
26./27.	N	eP	23	12	50		Epizentraldistanz 7150 km.	
		eS?	23	21	27			
		eL	23	30				
		M	23	40	15	3		
		F	0	20				
29.	N	i	4	55	31			
		eL	5	20				
		M	5	30	17	3		
		F	6	10				
30.	N	e	3	35	8	2		
		F	3	47				
Nov. 4.	N	e	10	30				
		M	10	50	16	2		
		F	11	20				
10./11.	N	i	21	32	0		Albancay (Peru).	
		i	21	35	9			
		eL	22	15				
		M ₁	22	36	20	10		
		M ₂	22	52	19	8		
		F	0	10				
15.	E	eL	6	36				
		F	7	30				
19.	E	e	3	34	08			
		i	3	45				
		eL	3	57				
		M	4	31	30	3		
		F	5	20				
21.	N	e	15	32				
		M	15	37.5	9	10		
		F	15	47				
21.	N	e	16	14				
		M	16	19.5	9	4		
		F	16	28				

Jahr 1913

Datum	Komponente	Phase	Mittl. Greenw. Zeit			Periode _s	Amplitude _μ	Bemerkungen
			h	m	s			
Nov. 23.	N	eP	21	29	51		Epizentraldistanz 8100 km.	
		iS	21	39	15			
		eL	21	53				
		M	22	2	24	12		
		F	23	30				
30.	N	e	17	51	8	8	Vom 25. Nov. bis 1. Dez. stärkere Bodenunruhe.	
		F	17	59				
Dez. 1.	N	e	22	51			Messina.	
		M	22	54	11	18		
		F	23	20				
2.	N	e	22	20			Unregelmäßige Störungen.	
		F	23	30				
3.	N	e	8	44	10	5		
		F	9	15				
3./4.	N	e	23	47	10-16	5	4. bis 6. Dez. stärkere Bodenunruhe: regelmäßige Wellen und unregelmäßige Störungen.	
		F	0	30				
6.	N	e	14	31				
		F	15	15				
6.	N	e	15	27	18	3		
		F	16	40				
9.	N	e	0	40	14	10		
		M	0	48				
		F	1					
9.	N	e	6	2			14. Dez. starke unregelmäßige Bodenunruhe.	
		F	6	40				
15.	N	e	18	25	14	9		
		M	18	38				
		F	19	20				
21.	N	e	15	47	48			
		eL	16	13				
		M	16	19	15	60	Fällt in das nächste Diagramm.	
		F						
21.	N	e	17	40				
		M	17	45	14	4		
		F	18	20				
25.	N	e	7	6	18	10	Fällt in die Unterbrechung.	
		M	8					
		F	8					
28.	N	e	12	50			27. Dez. starke unregelmäßige Bodenunruhe.	
		M	12	53		3		
		F	13	20				
29.	N	e	10	18	14	8		
		M	10	40				
		F	11					

Jahr 1914

Datum	Komponente	Phase	Mittl. Greenw. Zeit			Periode s	Amplitude μ	Bemerkungen
			h	m	s			
Jan. 3.	N	eF	8	10		10	2	1. und 2. Januar stärkere Bodenunruhe.
3.	N	eF	8	15		16	3	
3.	N	eF	19	12				5. Januar unregelmäßige Bodenunruhe.
3.	N	eL	19	50	50			
7.	N	eF	22	47		12	3	5. Januar unregelmäßige Bodenunruhe.
7.	N	eF	22	53		20	2	
8.	N	eF	23	5				Vom 12. Januar bis 10. März unterbrochen.
8.	N	eF	20	5				
8.	N	eF	21	5				12. März zeitweiliges Auftreten von unregelmäßigen Wellen.
8.	N	eF	5	20				
März 13.	N	eF	5	30		12-20	3	12. März zeitweiliges Auftreten von unregelmäßigen Wellen.
13.	N	eF	5	23				
13.	N	eF	5	45				Epizentraldistanz 8900 km.
13.	N	iS?	15	43	39			
14.	N	iP	15	50	18			Epizentraldistanz 8900 km.
14.	N	iS	17					
14.	N	eL	20	12	11		6	schwache seismische Wellen.
14.	N	eL	20	22	16			
14.	N	M	20	38		13	105	schwache seismische Wellen.
14.	N	F	20	47				
15.	E	eF	23					15. bis 17. März Bodenunruhe.
15.	E	eF	15	50				
15.	E	eF	16	45		12	2	Epizentraldistanz 7780 km.
15.	E	eF	21	7				
18.	N	iP	21	42				fällt in das nächste Diagramm.
18.	N	eS	4	31	42			
18.	N	eL	4	40	51			Epizentraldistanz 7680 km.
18.	N	eL	5	1				
18.	N	M	5	10		15	100	Epizentraldistanz 7680 km.
18.	N	F	6	29	0			
18.	N	eP	6	29	0			Epizentraldistanz 7680 km.
18.	N	eS	6	38	4			
18.	N	eL	6	59				Epizentraldistanz 7680 km.
18.	N	M	7	8		14	85	
18.	N	F	9					Epizentraldistanz 7680 km.
18.	N	e	11	10				
18.	N	M	11	20		12	4	Epizentraldistanz 7680 km.
18.	N	F	12					
18.	N	e	12					Epizentraldistanz 7680 km.
18.	N	F	19	30				
18.	N	M	19	41		4		Epizentraldistanz 7680 km.
18.	N	F	20					
20./21.	N	e	20					Epizentraldistanz 7680 km.
20./21.	N	eL	23	12				
20./21.	N	eL	23	33				Epizentraldistanz 7680 km.
20./21.	N	M	23	41		18	10	
21.	N	F	0	10				Epizentraldistanz 7680 km.
21.	N	e	20					
21.	N	eF	20	45				Epizentraldistanz 7680 km.
21.	N	eF	20	45				
22.	N	eF	1	40				Epizentraldistanz 7680 km.
22.	N	M	1	58		13	3	
24.	N	F	2	20				Epizentraldistanz 7680 km.
24.	N	eF	2	20				
24.	N	eF	1	56		12	2	Epizentraldistanz 7680 km.
24.	N	eF	2	40				
24.	N	eF	21	5				Epizentraldistanz 7680 km.
24.	N	F	22	10				
24.	N	F	22	10				26. und 27. März stärkere Bodenunruhe.

Jahr 1914

Datum	Komponente	Phase	Mittl. Greenw. Zeit			Periode s	Amplitude μ	Bemerkungen
			h	m	s			
März 27.	E	eL	1	15	38			Epizentraldistanz 6230 km.
März 27.	E	eL	1	39				
März 27.	N	M	1	47		12	11	Epizentraldistanz 6230 km.
März 27.	N	F	2	40				
März 27.	N	e	18	30		13	8	Epizentraldistanz 6230 km.
März 27.	N	M	18	41				
März 28.	N	iP	19	10				Epizentraldistanz 6230 km.
März 28.	N	eS	11	4	17			
März 28.	N	eL?	11	12	5			Epizentraldistanz 6230 km.
März 28.	N	eL?	11	20				
März 28.	N	M	11	25		11	42	Epizentraldistanz 6230 km.
März 28.	N	F	13					
März 28.	N	e	13	45				Epizentraldistanz 6230 km.
März 28.	N	M	13	51		13	4	
März 30.	N	F	14	10				Epizentraldistanz 9760 km.
März 30.	N	eP	0	53	55			
März 30.	N	iS	1	4	42			Epizentraldistanz 9760 km.
März 30.	N	iS	1	5	3			
März 30.	N	eL	1	22		13	100	Epizentraldistanz 9760 km.
März 30.	N	eL	1	22		13	210	
März 30.	N	M	1	33		17	105	Epizentraldistanz 9760 km.
März 30.	N	F	4	20				
März 31.	N	e	19	16		16	2	Epizentraldistanz 9760 km.
März 31.	N	F	19	53				
April 7.	N	e	19			12	2	6. April stärkere unregelmäßige Wellen (Sturm).
April 7.	N	e	19	21				
April 8.	N	e	0	51				6. April stärkere unregelmäßige Wellen (Sturm).
April 8.	N	e	0	51				
April 8.	N	iS?	0	54	31			6. April stärkere unregelmäßige Wellen (Sturm).
April 8.	N	iS?	0	54	31			
April 8.	N	M	1	6		11	3	6. April stärkere unregelmäßige Wellen (Sturm).
April 8.	N	F	1	18				
April 8.	N	e	22	42				6. April stärkere unregelmäßige Wellen (Sturm).
April 8.	N	e	22	42				
April 8.	N	M	22	55		13	6	6. April stärkere unregelmäßige Wellen (Sturm).
April 8.	N	F	22	55				
April 9.	N	e	23	52				6. April stärkere unregelmäßige Wellen (Sturm).
April 9.	N	e	23	52				
April 9.	N	F	2	40		17	2	6. April stärkere unregelmäßige Wellen (Sturm).
April 9.	N	F	2	40				
April 9.	N	e	3	10				6. April stärkere unregelmäßige Wellen (Sturm).
April 9.	N	e	3	10				
April 9.	N	eL	3	56				6. April stärkere unregelmäßige Wellen (Sturm).
April 9.	N	eL	3	56				
April 9.	N	M	4	50		20	7	6. April stärkere unregelmäßige Wellen (Sturm).
April 9.	N	M	4	50				
April 9.	N	F	4	58				6. April stärkere unregelmäßige Wellen (Sturm).
April 9.	N	F	4	58				
April 11.	N	eP	6	20				6. April stärkere unregelmäßige Wellen (Sturm).
April 11.	N	eP	6	20				
April 11.	N	eS	16	50	2			6. April stärkere unregelmäßige Wellen (Sturm).
April 11.	N	eS	16	50	2			
April 11.	N	eL	17	2	11			6. April stärkere unregelmäßige Wellen (Sturm).
April 11.	N	eL	17	2	11			
April 11.	N	M	17	25				6. April stärkere unregelmäßige Wellen (Sturm).
April 11.	N	M	17	25				
April 11.	N	F	17	57		18	64	6. April stärkere unregelmäßige Wellen (Sturm).
April 11.	N	F	17	57				
April 11.	N	F	21					6. April stärkere unregelmäßige Wellen (Sturm).
April 11.	N	F	21					
April 13.	N	e	4	34				6. April stärkere unregelmäßige Wellen (Sturm).
April 13.	N	e	4	34				
April 13.	N	F	5	20				6. April stärkere unregelmäßige Wellen (Sturm).
April 13.	N	F	5	20				
April 14.	N	e	3	50				6. April stärkere unregelmäßige Wellen (Sturm).
April 14.	N	e	3	50				
April 14.	N	eL	4	9				6. April stärkere unregelmäßige Wellen (Sturm).
April 14.	N	eL	4	9				
April 14.	N	M	4	13		17	1	6. April stärkere unregelmäßige Wellen (Sturm).
April 14.	N	M	4	13				
April 14.	N	F	5					6. April stärkere unregelmäßige Wellen (Sturm).

Jahr 1914								
Datum	Komponente	Phase	Mittl. Greenw. Zeit			Periode s	Amplitude μ	Bemerkungen
			h	m	s			
April 15.	N	e	4	13				
		M ₁	5	20		22	2	
		M ₁	5	54		16	3	
		F	6	20				
✓ 18.	N	e	5	16	55			Kleine Karpathen (West-Ungarn).
		M ¹	5	16	59		15	
		M ₂	5	17	19	10	5	
		F	5	18	10			
	N	i	5	16	5			Mainka-Pendel (450 kg), (Periode 10 Sek., für kleinere Amplituden aperiodisch gedämpft. Vergr. 200fach.)
		eL?	5	16	48			
		M	5	17	1	0.5	25	
		F	5	20				
✓ 20.	N	iP	13	42	44			Epizentraldistanz 9620 km.
		iS	13	53	25	12	33	
		eL	14	12				
	E	M	14	24		18	16	
	N	F	17					
21.	N	e	20	16	38			Erdstoß gespürt in Asch und Umgebung. Diagramme d. Mainka-Pendels (450 kg) Periode: 12 Sek., Dämpfung: 1:8, Vergrößerung: 150fach.
		iM	20	16	39	0.4	7	
		F	20	16	54			
24.	N	e	9	13				
		M	9	20		15	3	
		F	9	45				
25.	N	e	18	32				
		M	18	35		14	2	
		F	18	44				
28.	N	e	1	37				
		F	1	51				
28.	N	e						Fällt in die Unterbrechung.
		M	6	28		12	3	
		F	6	40				
28.	N	e	12	13				
		M	12	23		18	4	
		F	13					
29.	N	e	9	16				
		M	9	22		13	2	
		F	9	43				
30.	N	e	10	57				
		M	11	1		12	2	
		F	11	30				
30.	N	e	16					
		M	16	17		14	3	
		F	16	40				
30.	N	e	19	16				
		M	19	35			3	
		F	20	50				